

銀河系の水素原子・分子ガス 3次元分布

中西 裕之(野辺山宇宙電波観測所)
祖父江 義明(東大天文センター)

CONTENTS

1. はじめに
2. 銀河系 HI・H₂分布の決定方法
3. 結果・議論
4. まとめ

はじめに

天の川銀河の構造について

- ・銀河系は最も近い銀河
最も小さい空間スケールでの
研究が可能
- ・系内天体を研究する上で銀河系内
での位置は重要
ex. 銀河中心部 or 外縁部 ?
arm or inter-arm ? 等
- ・しかしながら我々観測者が銀河系
内部に位置するため、
銀河系の構造を探るのは難しい課題

南半球からみた天の川（銀河系の中心方向）



天の川（銀河系）の撮影（タカハシ 60mm、F2.8、絞り4.5、露光機：ビクセン GP2000）
撮影：福島英雄
Pico's Sublime

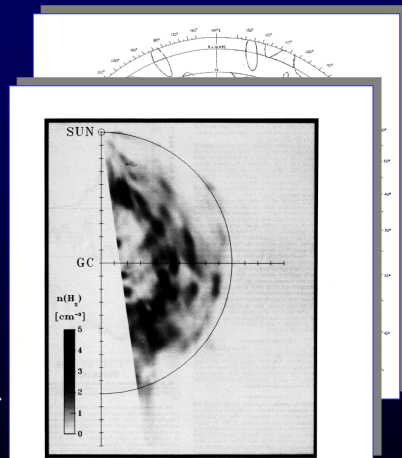
天の川銀河の構造について

- ・電波輝線データは銀河系構造を探るのに適している
 - (i) 可視光では減光が大きい。
 - (ii) 速度情報が使える。
 - (iii) 銀河全体に分布している。
- ・我々は最新のHI・COサーベイデータを用いて銀河系の3次元構造を調べた。



天の川銀河の構造について

- ・先行研究
 - HI分布図:
 - Oort et al. 1958等
 - H₂分布図:
 - Clemens et al. 1988等
- ただし、天の川銀河全体の3次元ガス分布は未知
- 天の川銀河の3次元ガス分布を探ることは重要
- HI・H₂の比較も興味深いテーマ



HI・H₂ガス分布の決定方法

データ: HI・COサーベイ

HIサーベイデータ

Hartmann & Burton (1997): $0.5^\circ < l < 240^\circ$

Kerr et al. (1986): $240.5^\circ < l < 350^\circ$

Burton & Listz (1983): $350^\circ < l < 359.5^\circ$

グリッド間隔: 0.5° , 速度分解能: 1.0 - 5.5 km/s

¹²CO(J=1-0)サーベイデータ

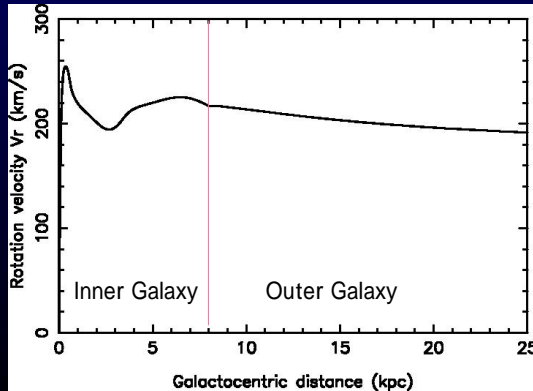
Dame et al. (2001): $0^\circ < l < 360^\circ$, $-1.5^\circ < b < +1.5^\circ$

グリッド間隔: 0.125° - 0.250° , 速度分解能: 1.3 km/s

データ：回転曲線

inner Galaxy ($R < R_0$) : Clemens(1985)

outer Galaxy ($R > R_0$) : Dehnen & Binney (1998)



$R_0=8.0\text{kpc}$,
 $V_0=217\text{km/s}$

$T_b(l, b, V_r)$ $n(R, , z)$ の変換

・視線速度 V_r 距離 r

$$V_r = (R_0 V(R)/R - V_0) \sin l \cos b$$

$$R^2 = R_0^2 + r^2 - 2rR_0 \cos l$$

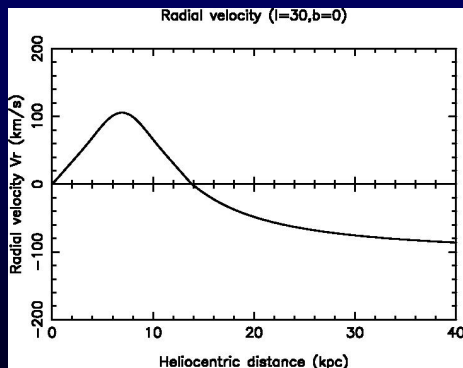
l, b : 銀経、銀緯、 r : 太陽からの距離、
 R : 銀河中心からの距離、 V : 回転速度

・輝度温度 T_b 密度 n

$$n = C T_b V_r / r$$

$$C = 1.82 \times 10^{18} \text{ (HI)},$$

$$C = 1.80 \times 10^{20} \text{ (CO; Dame et al. 2001)}$$

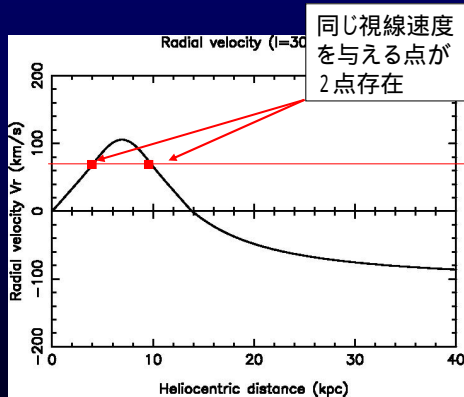


Near-far problem

Inner Galaxyでは同一視線上に同じ視線速度を与える点が2点存在する。

観測されるガス分布は
近い点と遠い点 両方からの
足し合わせ
(Near-far problem)

Near-far の分離が必要



Near-far problemの解決策

z方向の分布のモデル(Spitzer 1942)を導入

$$n_{\text{HI}}[\text{cm}^{-3}] = n_{\text{HI}0} \text{sech}^2((z - z_0)/h)$$

観測されるHI、H₂密度の銀緯b
分布は未知パラメータ

($n_{\text{HI}01}$, z_{01} , $n_{\text{HI}02}$, z_{02})を用いて

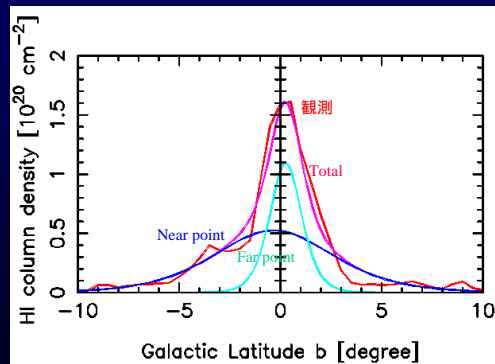
$$n_{\text{HI}}[\text{cm}^{-3}] = (n_{\text{HI}01} \text{sech}^2((r_1 \tan b - z_{01})/h) + n_{\text{HI}02} \text{sech}^2((r_2 \tan b - z_{02})/h)) / \cos b$$

未知パラメータ

($n_{\text{HI}01}$, z_{01} , $n_{\text{HI}02}$, z_{02})

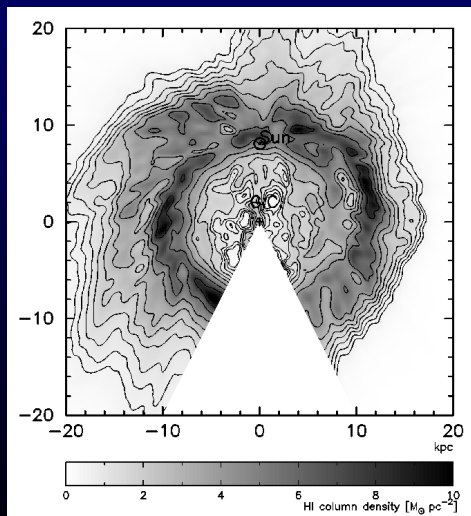
をfittingで決定してNear-far
problemを解決し、

Inner GalaxyでのHI、H₂分布を求めた



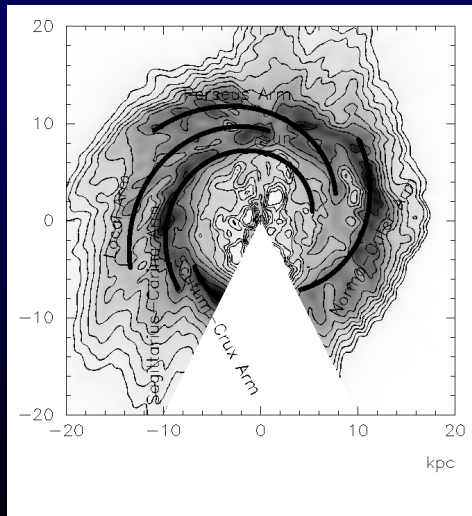
結果・議論

HI map



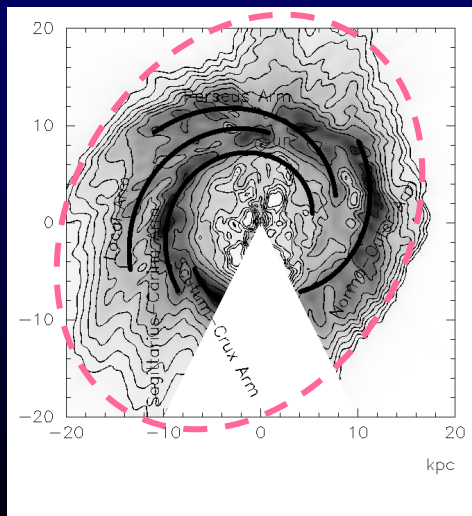
・HIガスは外縁部で豊富、中心部で少ない

HI map



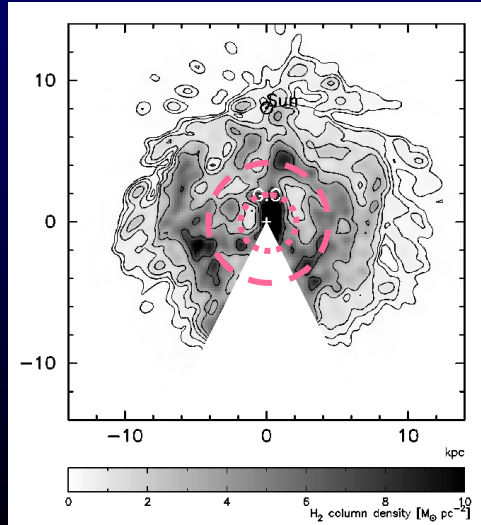
- ・HIガスは外縁部で豊富、中心部で少ない
- ・Outer arm, Perseus arm, Local (Orion) arm, Sagittarius-Carina arm, Crux armの一部が見られる

HI map



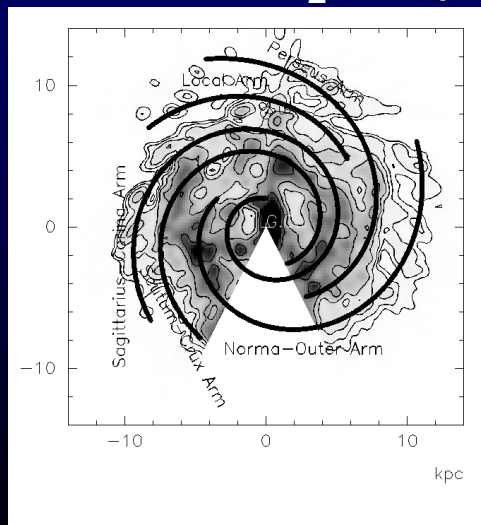
- ・HIガスは外縁部で豊富、中心部で少ない
- ・Outer arm, Perseus arm, Local (Orion) arm, Sagittarius-Carina arm, Crux armの一部が見られる
- ・HIガス分布は軸対象ではなく、偏長 (Lopsided disk)

H₂ map



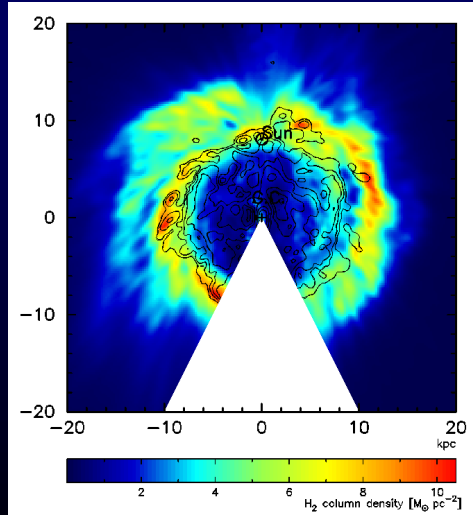
- ・第4象限は初めてのマップ化
- ・第1象限には4kpcリングが見られる
- ・分子ガスが銀河中心に集中

H₂ map



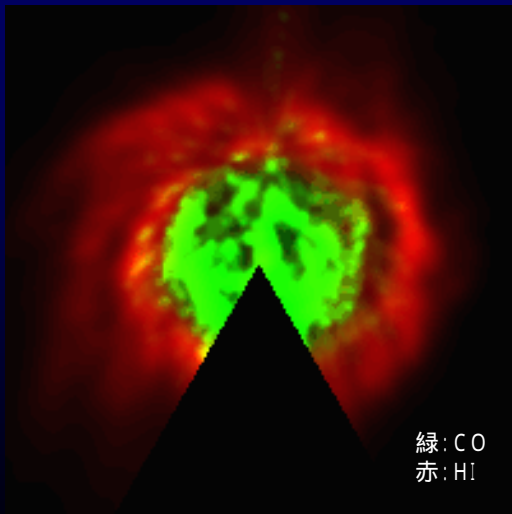
- ・第4象限は初めてのマップ化
- ・第1象限には4kpcリングが見られる
- ・分子ガスが銀河中心に集中
- ・Norma-Outer arm, Perseus arm, Local (Orion) arm, Sagittarius-Carina arm, Scutum-Crux arm がトレースできる

HI-H₂ map

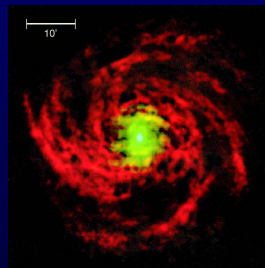


- ・分子ガスは銀河の中心付近で豊富
- ・HIガスは銀河の外側部分で豊富
- ・Outer arm, Perseus arm, Carina armで 分子ガスとHIガスの腕が一致している

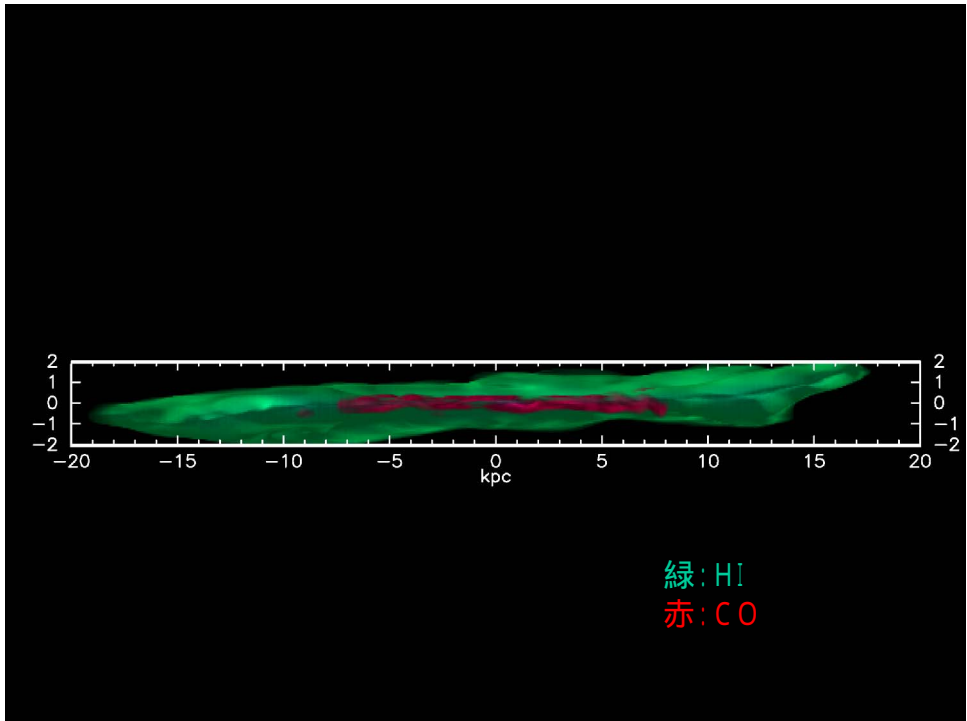
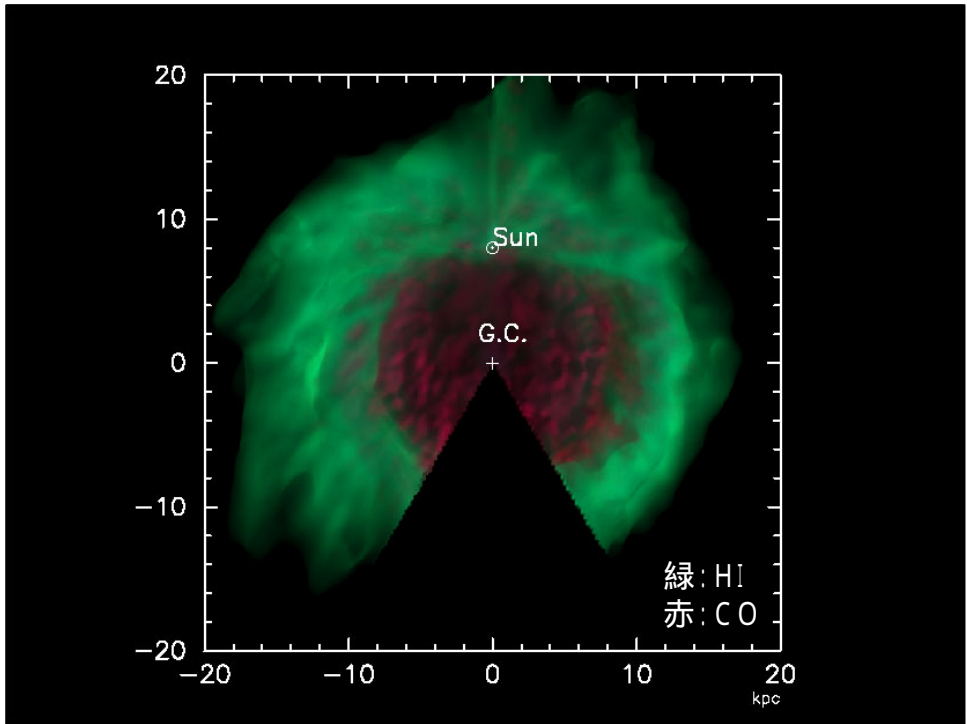
HI-H₂ map



緑: CO
赤: HI

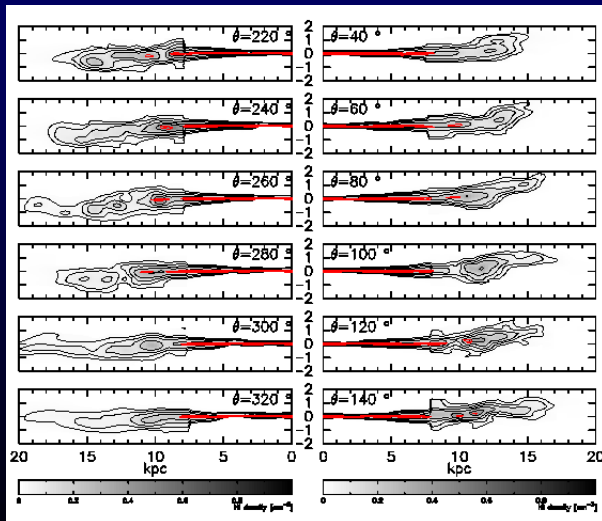


IC 342のHI・CO
(Crosthwait et al. 2001)



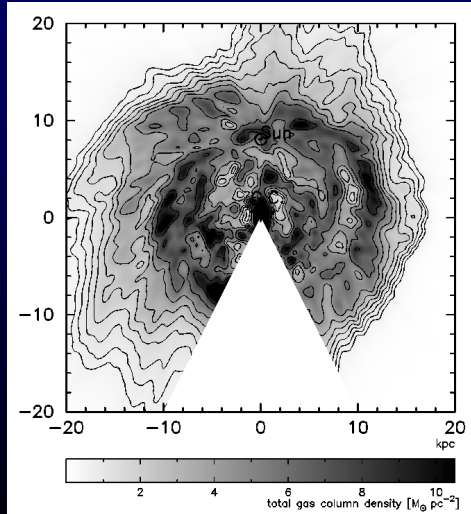


HI-H₂ map/断面図



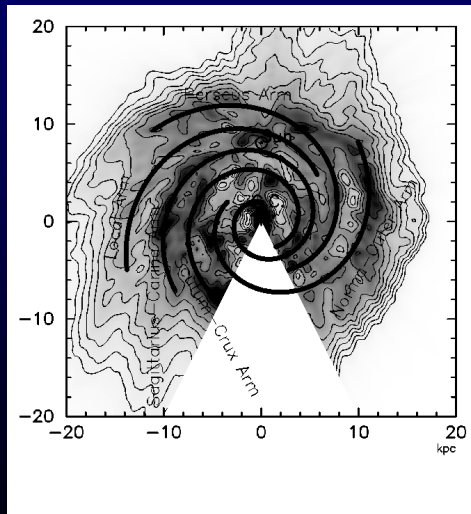
- ・HIガスが分子ガスを囲むように分布 (あんぱん構造)
- ・HIガスは外側付近で大きく歪む (Warping)
- ・分子ガスでも Warpingの兆候が見られる
- ・銀河の内側部分でもz方向の揺らぎ (tilted disk)

Total gas map



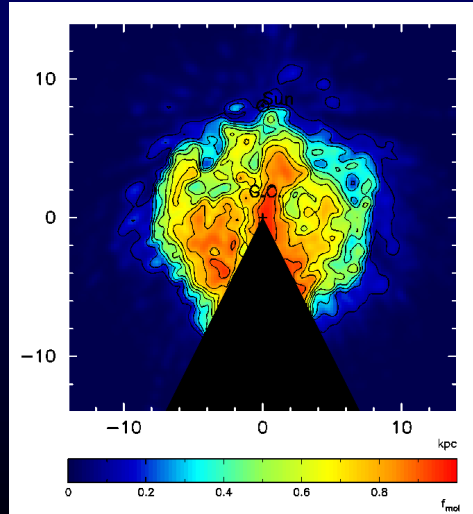
- ・HIガスと分子ガスの両方のマップが得られて初めて描くことが可能になった

Total gas map



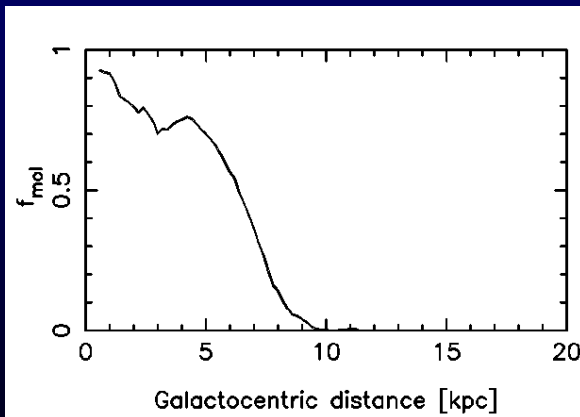
- ・HIガスと分子ガスの両方のマップが得られて初めて描くことが可能になった
- ・銀河系全体の渦巻き腕構造がトレースしやすくなった
- ・Norma armとOuter armはピッチアングルが約11度付近であると考えると同一の腕らしい

HI vs. H₂/ f_{mol}



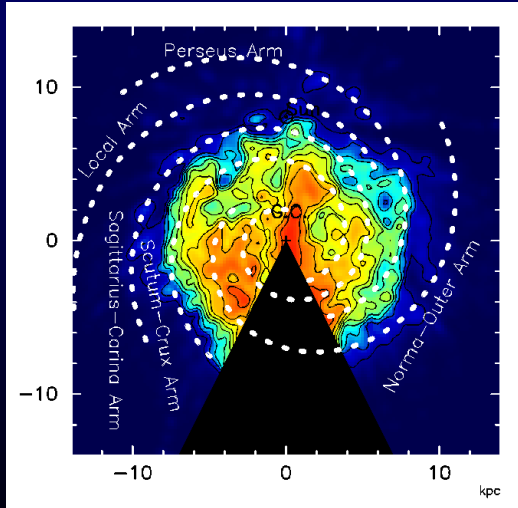
- ・分子ガス比
 $f_{\text{mol}} = M_{\text{H}_2} / (M_{\text{H}_2} + M_{\text{HI}})$
と定義
 - ・ f_{mol} は密度 P , 金属量 Z , 紫外線強度 (U) によって決定される (Elemegreen, 1993)
- | | |
|-----|------------------|
| P | f_{mol} |
| Z | f_{mol} |
| U | f_{mol} |

f_{mol}の動径分布



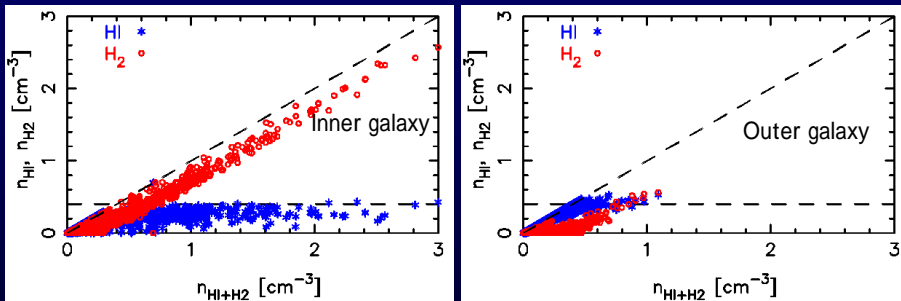
- ・銀河中心付近で $f_{\text{mol}} \sim 1$
- ・銀河の外側で $f_{\text{mol}} \sim 0$
- ・半径 5 - 8 kpc 付近で急激に減少 (Molecular Front)

小さなスケールでの f_{mol} 変化



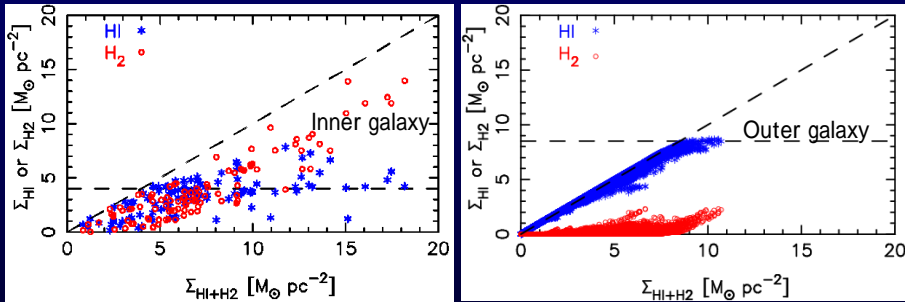
- ・ f_{mol} は小さいスケールでも変化
- ・ 渦巻き腕上で変化が顕著
- ・ 渦巻き腕で HI - H₂ の遷移が短時間で起きている。
- ・ 変化の幅はパターン速度とガスの速度の差で決まり、 $10^6 - 10^7 \text{ yr}$ 程度で変化していると考えられる。

HI・H₂ vs. 全ガス(体積密度の場合)



- ・ 全ガス密度が低い部分ではHIガスは破線に沿って増加 (HIガスが優勢)
- ・ 全ガス密度がある密度 (0.4 cm^{-3}) を超えると、HIガス密度は一定となり、分子ガスが線形に増加する。
HI飽和密度が存在
UVの減光が顕著になる密度か (400 pc で $N_{\text{HI}+\text{H}_2} = 5e+20 \text{ cm}^{-2}$)

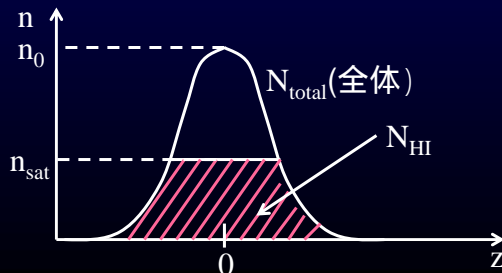
HI・H₂ vs. 全ガス(面積密度の場合)



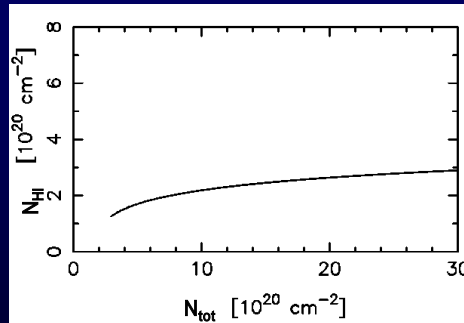
- ・全ガスの面積密度とHI・H₂の面積密度の関係
- ・体積密度の場合と同様、面積密度の場合もHI飽和密度が存在
なぜ 同様の傾向が見られるのか？

柱密度でのHI飽和密度の解釈

- ・z方向のガス分布がSpitzer (1942)のモデルに従うと考える。
 $n_{\text{tot}}(z) = n_0 \text{sech}^2(z/h)$
- ・この時、HIの密度は
 $n_{\text{HI}}(z) = \max(n_0 \text{sech}^2(z/h), n_{\text{sat}})$
- ・HIガス分布を - から+ まで積分すると
$$N_{\text{HI}} = 2h (n_{\text{sat}} \log((n_0^{0.5} + (n_0 - n_{\text{sat}})^{0.5})/n_{\text{sat}}^{0.5}) + n_0(1 - (1 - n_{\text{sat}}/n_0)^{0.5}))$$



柱密度でのHI飽和密度の解釈

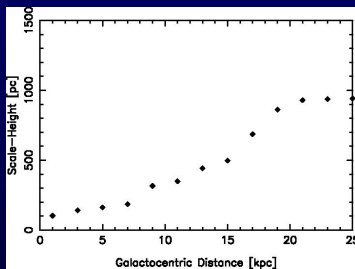


N_{total} の変化に対して N_{HI} の変化は小さい

全ガスの面積密度が変化しても、HIガスの面積密度はほとんど変化しない

体積密度で飽和密度が存在すると、面積密度でもHI飽和密度が見られる

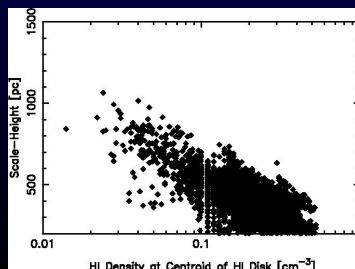
Scale-height



- ・内側から外側に向かい厚みが増加する
- ・Armで薄くinter-armで暑いという傾向がある
- 重力では説明できなさそう

う

磁場やSNが原因か



まとめ

- ・ 最新のHI・COサーベイデータと回転曲線を用いて天の川銀河の3次元HI・H₂分布マップを構築した
- ・ 天の川銀河全体の渦巻き腕構造を明らかにした
Norma armとOuter armは同一
- ・ HI飽和密度が体積密度・面積密度、両方で見られることが明らかになった